

焦耳热如何分配

——对2022年高考全国甲卷理综第20题定量分析

彭定辉

(江西省南丰县第一中学 江西 抚州 344500)

(收稿日期:2022-07-10)

摘要:对2022年高考全国甲卷理综第20题的“单杆+电容+电阻”情景问题,通过微分方程分析电阻 R 和导体棒的电流变化,并定量计算焦耳热及分配比例.在求解过程中发现随时间指数衰减电流的焦耳热计算方式,还总结出将“单杆导轨”等效为电容器的方法.

关键词:“单杆+电容+电阻”模型;焦耳热;衰减电流;等效电容器

1 提出问题

“单杆导轨”是电磁感应的经典问题,能衍生诸多次级模型,如“单杆+电阻”“单杆+电容”“单杆+外力”等^[1-2].2022年高考全国甲卷理综第20题不落窠臼,对常见模型进行延伸拓展,构建“单杆+电容+电阻”的情境问题,题目如下.

如图1所示,两根相互平行的光滑长直金属导轨固定在水平绝缘桌面上,在导轨的左端接入电容为 C 的电容器和阻值为 R 的电阻.质量为 m 、阻值也为 R 的导体棒 MN 静止于导轨上,与导轨垂直,且接触良好,导轨电阻忽略不计,整个系统处于方向竖直向下的匀强磁场中.开始时,电容器所带的电荷量为 Q ,合上开关 S 后()

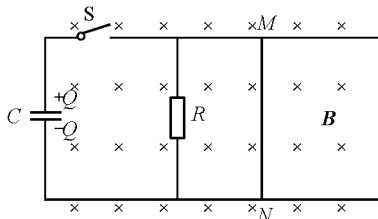


图1 题目情境图

- A. 通过导体棒 MN 电流的最大值为 $\frac{Q}{CR}$
- B. 导体棒 MN 向右先加速、后匀速运动
- C. 导体棒 MN 速度最大时所受的安培力也最大
- D. 电阻 R 上产生的焦耳热大于导体棒 MN 上

产生的焦耳热

该题参考答案为选项A、D.下面对此题做一般分析.

合上开关后电容器通过导体棒和电阻 R 放电,放电电流使导体棒在安培力作用下由静止开始向右加速运动,从而引起感应电动势和反向的感应电流.可知开始时感应电流为零,导体棒的电流最大,并由 $Q=CU$ 和 $U=IR$ 得电流 $I=\frac{Q}{CR}$,选项A正确.又由于电容器与电阻 R 及导体棒构成通路,最后各支路电流为零,导体棒会停下来,选项B错误.当导体棒速度最大时加速度为零,安培力也为零,选项C错误.而回路中的感应电流与导体棒的原电流(电容器放电电流)方向相反,与电阻 R 的原电流方向相同.于是流过导体棒 MN 的总电流比电阻 R 的更小,两者阻值相同的情况下,显然导体棒产生的焦耳热更小,选项D正确.

这样分析仍存在疑虑:有没有可能电容器放完电时导体棒仍在向右运动,其产生的感应电流对电容器反向充电,然后如此反复,形成衰减振荡电流?此外,从能量角度来看,电容器原来存储的电能最终转化的焦耳热,在电阻 R 与导体棒之间是如何分配的,焦耳热的分配比例与导体棒的阻值有何关系?下面本文试图通过定量计算,对上述问题做出明确回答.

2 定量分析

2.1 方程求解

在原题条件上,改设导体棒阻值为 r ,电容器初始电荷量为 Q_0 ,再假定导轨宽度为 L ,匀强磁场的磁感应强度大小为 B ,导体棒速度为 v ,通过电容器、电阻和导体棒的电流分别 I 、 I_1 、 I_2 ,方向如图2所示。

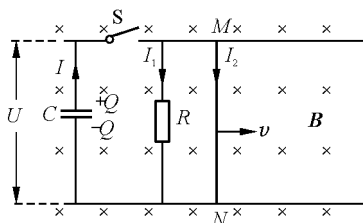


图2 电路分析

对电阻 R ,由 $Q=CU$ 和 $U=I_1R$ 可知其电流为

$$I_1 = \frac{Q}{CR} \quad (1)$$

对导体棒,又由 $U=BLv - (-I_2r)$ 可知其电流为

$$I_2 = \frac{Q}{Cr} - \frac{BLv}{r} \quad (2)$$

因 $I=I_1+I_2$,则电容器的电流为

$$I = \frac{Q}{Cr} \left(\frac{r}{R} + 1 \right) - \frac{BLv}{r} \quad (3)$$

由电容器放电电流

$$I = -\frac{dQ}{dt}$$

有

$$\frac{dQ}{dt} = \frac{BLv}{r} - \frac{Q}{Cr} \left(\frac{r}{R} + 1 \right) \quad (4)$$

考虑导体棒在安培力作用下做变速运动,有

$$BI_2L = m \frac{dv}{dt}$$

将式(2)代入,整理得

$$\frac{dv}{dt} = \frac{BL}{mr} \left(\frac{Q}{C} - BLv \right) \quad (5)$$

观察到 $\frac{Q}{C}$ 与 BLv 量纲相同,故将式(4)、(5)中含 v

的项变换为 $C'BLv$,有

$$\frac{dQ}{dt} = \frac{C'BLv}{C'r} - \frac{Q}{Cr} \left(\frac{r}{R} + 1 \right)$$

$$\frac{dC'BLv}{dt} = \frac{C'B^2L^2}{m} \left(\frac{Q}{Cr} - \frac{C'BLv}{C'r} \right)$$

对上式进行简化处理,取

$$\frac{C'B^2L^2}{m} = 1$$

得系数

$$C' = \frac{m}{B^2L^2}$$

且令

$$q = C'BLv \quad a = \frac{1}{Cr}$$

$$k = \frac{r}{R} + 1 \quad b = \frac{1}{C'r} = \frac{B^2L^2}{mr}$$

则上面两式写为

$$\frac{dQ}{dt} = bq - akQ \quad (6)$$

$$\frac{dq}{dt} = aQ - bq \quad (7)$$

由式(6)有

$$q = \frac{1}{b} \left(akQ + \frac{dQ}{dt} \right)$$

代入式(7),整理得

$$\frac{d^2Q}{dt^2} + (ak+b) \frac{dQ}{dt} + ab(k-1)Q = 0$$

此二阶微分方程的特征方程为^[3]

$$x^2 + (ak+b)x + ab(k-1) = 0$$

两实根为

$$x_{12} = -\frac{(ak+b) \pm \sqrt{(ak-b)^2 + 4ab}}{2}$$

令

$$\lambda_1 = \frac{(ak+b) + \sqrt{(ak-b)^2 + 4ab}}{2}$$

$$\lambda_2 = \frac{(ak+b) - \sqrt{(ak-b)^2 + 4ab}}{2}$$

易知 $\lambda_1 > 0, \lambda_2 > 0$,且有

$$\lambda_1 + \lambda_2 = ak + b \quad (8)$$

$$\lambda_1 \lambda_2 = ab(k-1) \quad (9)$$

则方程的通解为

$$Q = A_1 e^{-\lambda_1 t} + A_2 e^{-\lambda_2 t} \quad (10)$$

可见电荷量 Q 随时间指数衰减.式中 A_1, A_2 为待定系数,由

$$I = -\frac{dQ}{dt}$$

有 $I = \lambda_1 A_1 e^{-\lambda_1 t} + \lambda_2 A_2 e^{-\lambda_2 t}$

当 $t=0$ 时,由题设和式(3)有

$$A_1 + A_2 = Q_0$$

$$\lambda_1 A_1 + \lambda_2 A_2 = akQ_0$$

可得

$$A_1 = \frac{ak - \lambda_2}{\lambda_1 - \lambda_2} Q_0 \quad A_2 = \frac{\lambda_1 - ak}{\lambda_1 - \lambda_2} Q_0$$

容易验算 $\lambda_1 > ak > \lambda_2$, 故有 $A_1 > 0, A_2 > 0$.

2.2 电流分析

由式(1)有

$$I_1 = \frac{Q}{CR} = a(k-1)Q$$

可知电阻 R 的电流为

$$I_1 = a(k-1)A_1 e^{-\lambda_1 t} + a(k-1)A_2 e^{-\lambda_2 t} \quad (11)$$

而通过电阻 R 的总电荷量为

$$Q_1 = \int_0^\infty I_1 dt = \frac{a(k-1)}{\lambda_1 \lambda_2} (A_1 \lambda_2 + A_2 \lambda_1) = Q_0$$

联立式(6)、(10)得

$$q = \frac{ak - \lambda_1}{b} A_1 e^{-\lambda_1 t} + \frac{ak - \lambda_2}{b} A_2 e^{-\lambda_2 t}$$

由式(2)有

$$I_2 = \frac{Q}{Cr} - \frac{BLv}{r} = aQ - bq$$

可知导体棒的电流为

$$I_2 = (a + \lambda_1 - ak)A_1 e^{-\lambda_1 t} + (a + \lambda_2 - ak)A_2 e^{-\lambda_2 t} \quad (12)$$

而通过导体棒的总电荷量为

$$Q_2 = \int_0^\infty I_2 dt = 0$$

发现电阻和导体棒的电流 I_1, I_2 也是随时间指数衰减, 可用图像来直观表示其变化情况. 当导体棒阻值取 R 时, 有

$$k = \frac{r}{R} + 1 = 2$$

再令

$$a = \frac{1}{Cr} = 3 \quad b = \frac{B^2 L^2}{mr} = 2 \quad Q_0 = 1$$

则有 $\lambda_1 = 7.16, \lambda_2 = 0.84, A_1 = 0.82, A_2 = 0.18$ (各物理量均采用国际制单位).

将上面数值代入式(11)、(12), 有

$$I_1 = 2.46e^{-7.16t} + 0.54e^{-0.82t}$$

$$I_2 = 3.41e^{-7.16t} - 0.39e^{-0.84t}$$

其 $I-t$ 图像如图3所示. 可见电流 I_2 减小到零后反向, 再先增后减最终为零, 导体棒也相应由加速变为减速, 最后停止. 而电流 I_1 不会反向, 始终衰减直至为零, 没有像 RLC 电路那样出现振荡电流.

从图像上看, 显然有 $I_1 > |I_2|$, 阻值相同的情

况下, 可知电阻 R 上产生的焦耳热大于导体棒 MN 上产生的焦耳热.

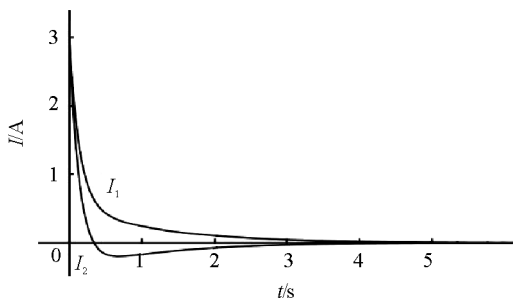


图3 电流随时间变化

2.3 焦耳热的分配

观察式(11)、(12), 发现电流 I_1, I_2 均为 $I = C_1 e^{-\lambda_1 t} + C_2 e^{-\lambda_2 t}$ 形式, 下面来计算这种指数形式衰减电流产生的焦耳热.

$$E = \int_0^\infty I^2 R dt = R \left(\frac{C_1^2}{2\lambda_1} + \frac{2C_1 C_2}{\lambda_1 + \lambda_2} + \frac{C_2^2}{2\lambda_2} \right)$$

整理化简得

$$E = \frac{R}{2(\lambda_1 + \lambda_2)} \left[(C_1 + C_2)^2 + \lambda_1 \lambda_2 \left(\frac{C_1}{\lambda_1} + \frac{C_2}{\lambda_2} \right)^2 \right]$$

其中 $C_1 + C_2 = I_0$ 为初电流, 由

$$Q_m = \int_0^\infty (C_1 e^{-\lambda_1 t} + C_2 e^{-\lambda_2 t}) dt = \frac{C_1}{\lambda_1} + \frac{C_2}{\lambda_2}$$

可知 $\frac{C_1}{\lambda_1} + \frac{C_2}{\lambda_2} = Q_m$

为全过程通过的总电荷量, 于是焦耳热为

$$E = \frac{R}{2(\lambda_1 + \lambda_2)} (I_0^2 + \lambda_1 \lambda_2 Q_m^2) \quad (13)$$

由前面分析可知, $-\lambda_1, -\lambda_2$ 为特征方程的根, 而 $\lambda_1 + \lambda_2, \lambda_1 \lambda_2$ 为二阶微分方程的系数, 故对这种形式的电流只需列出微分方程, 根据方程系数和 R, Q_m, I_0 便可计算其焦耳热, 而不必具体求解方程.

对电阻 R , 其初电流为

$$I_{10} = \frac{Q_0}{CR} = a(k-1)Q_0$$

通过总电荷量为 $Q_1 = Q_0$, 故其焦耳热为

$$E_1 = \frac{R}{2(\lambda_1 + \lambda_2)} [a^2 (k-1)^2 Q_0^2 + \lambda_1 \lambda_2 Q_0^2]$$

代入式(8)、(9), 整理化简得

$$E_1 = \frac{Q_0^2}{2C} \left(1 - \frac{a}{ak+b} \right)$$

对导体棒, 其初电流为

$$I_{20} = \frac{Q_0}{Cr} - \frac{BLv_0}{r} = aQ_0$$

通过总电荷量为零, 故其焦耳热为

$$E_2 = \frac{r}{2(\lambda_1 + \lambda_2)} a^2 Q_0^2$$

同样整理化简得

$$E_2 = \frac{Q_0^2}{2C} \frac{a}{ak + b}$$

最后,电阻 R 与导体棒上产生的焦耳热之比为

$$\frac{E_1}{E_2} = \frac{r}{R} + \frac{B^2 L^2 C}{m}$$

无论电容器电容、导体棒质量等取何值,当 $r =$

R 时, $\frac{E_1}{E_2} > 1$ 总成立.

3 等效方法

在定量求解过程发现,通过电阻 R 的总电荷量 $Q_1 = Q_0$ 为电容器初始总电荷量,而通过导体棒的总电荷量 $Q_2 = 0$,仿佛导体棒是断路,全部电荷都经由电阻 R 流走;另外导体棒在轨道上先加速后减速时,电流先从 M 流向 N 再反向从 N 流向 M ,其过程类似电容器先充电再放电;而且在方程化简时,用 $C' =$

$\frac{m}{B^2 L^2}$ 、 $q = C'BLv$ 来代换,也相当于将导体棒的相关物理量转化为电容器的对应物理量.这很容易联想到把“单杆导轨”等效为电容器,下面对此作出证明.

考虑质量为 m 的导体棒在宽度为 L 的水平光滑轨道上做减速运动(加速运动也是一样的).设匀强磁场的磁感应强度大小为 B ,方向竖直向下,导体棒向右切割的速度为 v ,其电流大小为 I ,如图 4(a) 所示.

由牛顿第二定律可知

$$BIL = -m \frac{dv}{dt}$$

根据量纲进行公式变形

$$I = -\frac{m}{C'B^2L^2} \frac{dC'BLv}{dt}$$

将上式与电容器放电电流

$$I = -\frac{dQ}{dt}$$

对比,有

$$Q' = C'BLv \quad (14)$$

$$C' = \frac{m}{B^2L^2} \quad (15)$$

如图 4(b) 所示,将导体棒等效为电容器时,其存储电荷量为式(14),电容大小为式(15).根据电容公式 $Q' = C'U$,易知等效电容器的电压为导体棒产生的感应电动势 $U = BLv$.还可验证,导体棒的动能

等效为电容器存储的电能,即

$$\frac{1}{2}mv^2 = \frac{Q'^2}{2C'}$$

而由式(14)、(15)可得 $mv = BLQ'$,即导体棒的动量可对应电容器的电荷量,动量变化意味着电荷量变化,动量守恒意味着电荷量守恒.

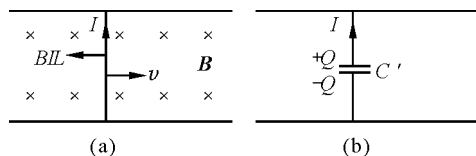


图 4 导体棒切割磁感线等效为一个电容器

于是可将高考原题中的导体棒等效为与一个电容器和电阻 r 串联的 RC 电路^[4],把电磁感应的“单杆+电容+电阻”模型转化为电路问题.该等效电路如图 5 所示,电路左边部分为 RC 并联,右边部分为 RC 串联,可称为双 RC 电路.如此,电阻 R 与导体棒上产生的焦耳热之比可写成与双 RC 电路有关的最简形式

$$\frac{E_1}{E_2} = \frac{r}{R} + \frac{C}{C'}$$

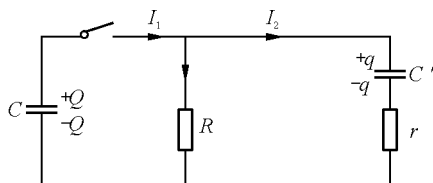


图 5 原题等效电路

可见,焦耳热在电阻 R 与导体棒之间的分配比例仅由等效的双 RC 电路结构决定.

4 结束语

本文通过求解微分方程,分析 2022 年高考全国甲卷理综第 20 题中的电流变化,得出电阻 R 与导体棒产生焦耳热的定量关系.此外,本文对 $I = C_1 e^{-\lambda_1 t} + C_2 e^{-\lambda_2 t}$ 形式的衰减电流提出了焦耳热的快速计算方式,总结了导体棒的等效电容方法,为“单杆+负载”的系列问题提供了新视角,具有一定参考价值.

参考文献

- [1] 杨学云. 浅析电磁感应“单杆导轨”模型中的基本规律[J]. 物理教师, 2019, 40(8): 82-86.
- [2] 邓贤彬. 电磁感应之“单杆+导轨+负载”模型研究[J]. 中学生理科应试, 2022(3): 21-26.
- [3] 文丽, 吴良大. 高等数学(第三册)[M]. 北京: 北京大学出版社, 2004: 280-283.
- [4] 梁灿彬, 秦戎戎, 梁竹健. 普通物理学教程 电磁学[M]. 北京: 高等教育出版社, 2018: 209-211.